

УДК 517.977

**О ЗАДАЧЕ СИНТЕЗА ИМПУЛЬСНЫХ УПРАВЛЕНИЙ  
ПО РЕЗУЛЬТАТАМ ИЗМЕРЕНИЙ<sup>1</sup>****А. Н. Дарьин, И. А. Дигайлова, А. Б. Куржанский**

В настоящей статье рассматривается задача *синтеза импульсных управлений* по результатам доступных наблюдений, подверженных помехам. Схема решения строится на основе методов динамического программирования, в форме аналогов уравнений гамильтонова формализма и решение представляет собой последовательность дельта-функций. В качестве информационного состояния системы рассмотрены множества фазовых векторов, совместимые с априорными данными и текущими измерениями. Модели наблюдения рассмотрены либо как непрерывные, с «неопределёнными» помехами, для которых статистическое описание отсутствует, либо как стохастические, дискретные, поступающие через коммуникационный канал связи в виде пуассоновского потока, с помехами, равномерно распределёнными на заданном множестве. Все результаты получены в рамках операций в конечномерном пространстве. Обсуждаются вычислительные схемы. Приведены примеры численного моделирования.

**Введение**

Задача синтеза управления по доступным измерениям при наличии шумов — одна из центральных в теории управления. Её изучение восходит к основополагающим статьям Н. Н. Красовского [1, 2], где были предложены как стохастические, так и детерминированные постановки. В данной работе, следующей схеме [3], рассмотрен подход, опирающийся на понятие информационного состояния, элементом которого является «информационное множество» фазовых векторов, совместимых с уравнениями движения, полученными измерениями и ограничениями на неопределённые помехи [4]. В общем случае такой подход предполагает рассмотрение задачи в метрическом пространстве компактных множеств, что требует преодоления определённых аналитических и вычислительных трудностей [5]. В связи со сказанным, в настоящей статье приводится задача управления по неполным данным для линейной системы, на примере которой предложено решение, доведённое до вычислительного алгоритма и просчитанных примеров для систем высокого порядка. В приведённой постановке имеется две особенности. Первая из них состоит в том, что при описании информационного состояния в виде множества рассмотрены два вида помех: «неопределённые» — неизвестные, но ограниченные, при заданном ограничении и отсутствии статистического описания, и «стохастические», когда при том же заданном ограничении дополнительно известно, что помеха случайна, с известной плотностью распределения (или с известным ограничением на эту плотность). Отмечено, что при помехах первого вида информационное множество стягивается в точку лишь в случае, когда реализуется «наилучшая» помеха, тогда как во втором случае, для каждого неизвестного начального условия системы существует свой конечный промежуток, за который многозначная оценка фазового вектора стягивается в малую окрестность точного состояния с заданной вероятностью. Указаны вычислительные схемы, основанные на эллипсоидальных аппроксимациях для неопределённой помехи и полиэдральных для стохастических. Вторая особенность рассматриваемой постановки состоит в том, что задача синтеза управления здесь рассматривается в классе импульсных воздействий. Приводятся условия, когда решение совокупной

<sup>1</sup>Работа выполнена при поддержке гранта РФФИ (проект 09-01-00589), программы государственной поддержки ведущих научных школ (НШ-4576.2008.1), научной программы «Развитие научного потенциала высшей школы» (проект № РНП 2.1.1.1714).

задачи управления достигается при помощи конечного числа импульсов. Полученные результаты допускают обобщение на более сложные модели наблюдений.

## 1. Задача синтеза импульсных управлений

### 1.1. Система управления

Рассмотрим задачу о синтезе импульсных управлений с критерием минимума обобщённого функционала типа Майера–Больца

$$J(U(\cdot)) = \text{Var}_{[t_0, t_1]} U(\cdot) + \varphi(x(t_1 + 0)) \rightarrow \inf, \quad (1.1)$$

$$dx(t) = A(t)x(t)dt + B(t)dU(t), \quad t \in [t_0, t_1]. \quad (1.2)$$

Здесь  $x(t) \in \mathbb{R}^n$  — вектор состояния,  $U(\cdot) \in BV([t_0, t_1]; \mathbb{R}^m)$  — обобщённое управление,  $BV([t_0, t_1]; \mathbb{R}^m)$  — пространство  $m$ -мерных функций с ограниченной вариацией (полагаем, что эти функции непрерывны слева). Напомним, что вариацией функции  $U(\cdot)$  на отрезке  $[t_0, t_1]$  называется число

$$\text{Var}_{[t_0, t_1]} U(\cdot) = \sup \left\{ \sum_{k=1}^N \|U(\tau_{k+1}) - U(\tau_k)\| \mid N \in \mathbb{N}, t_0 \leq \tau_1 < \tau_2 < \dots < \tau_{N+1} \leq t_1 \right\}.$$

Здесь и далее в данной статье  $\|\cdot\|$  — евклидова норма (но может быть другой конечномерной нормой). Известные матричные функции  $A(t) \in \mathbb{R}^{n \times n}$ ,  $B(t) \in \mathbb{R}^{n \times m}$  считаем непрерывными, конечный момент времени  $t_1$  — фиксированным, линейную систему (1.2) — вполне управляемой. Терминальную функцию  $\varphi: \mathbb{R}^n \rightarrow \mathbb{R} \cup \{\infty\}$  полагаем замкнутой и выпуклой.

Выбирая  $\varphi(x) = I(x \mid \mathcal{M})$ , а именно как индикаторную функцию<sup>2</sup> целевого множества  $\mathcal{M}$ , приходим к поиску управления минимальной вариации, приводящего систему в окрестность  $\mathcal{M}$  в момент времени  $t_1$ .

Управления строятся на основе доступной информации, доставляемой измерениями:

$$y(t) = H(t)x(t) + \xi(t). \quad (1.3)$$

Здесь  $\xi(t)$  — помеха, стеснённая ограничением  $\xi(t) \in \mathcal{Q}(t) \in \text{conv } \mathbb{R}^n$ , где  $\mathcal{Q}(t)$  — выпуклый компакт, непрерывный по  $t$ .

Заметим, что в рассматриваемой постановке измерения  $y(t)$  — разрывные функции, даже если шумы непрерывны. Это связано с разрывной природой импульсных воздействий. Поэтому разобьём уравнение динамики на две части: одну — содержащую неопределённость, другую — содержащую управление.

Обозначим через  $G(t, \tau)$  фундаментальную матрицу однородной системы, т.е. решение уравнения  $\partial G(t, \tau)/\partial t = A(t)G(t, \tau)$ ,  $G(\tau, \tau) = I$ .

Представив переменную  $x(t)$  как сумму

$$x(t) = G(t, t_1)x_1(t) + G(t, t_1)x_2(t), \quad (1.4)$$

где  $x_1(t)$  и  $x_2(t)$  удовлетворяют системе

$$\dot{x}_1(t) = 0, \quad (1.5)$$

$$dx_2(t) = B(t)dU(t), \quad x_2(t_0) = 0, \quad (1.6)$$

<sup>2</sup>Под  $I(x \mid A)$  будем понимать индикаторную функцию выпуклого множества  $A$  (нуль на множестве  $A$  и  $+\infty$  вне его).

перепишем уравнение измерений (1.3) в следующем виде:

$$y_1(t) = H(t)G(t, t_1)x_1(t) + \xi(t) = y(t) - H(t)G(t, t_1)x_2(t).$$

Заметим, что уравнение для  $x_2(t)$  не содержит неопределённости, следовательно  $x_2(t)$  можем считать полностью известно управляющему устройству. С другой стороны, уравнение для  $x_1(t)$  не содержит управления, следовательно траектория  $x_1(t)$  непрерывна в случае, если непрерывны шумы  $\xi(t)$ .

## 1.2. Постановка задачи

Рассмотрим следующую задачу синтеза в постановке, предложенной в [3], но теперь в классе импульсных управлений.

Определим вначале *состояние* системы (1.2), (1.3) как тройку  $(t, y_{1,t}, x_2)$ , где  $y_{1,t}$  — история наблюдений  $y_1(\tau)$  на промежутке  $\tau \in [t_0, t]$ .

**Задача 1.** Для заданной терминальной функции  $\varphi(\cdot)$  построить синтезированное управление вида  $U(t, y_{1,t}, x_2)$ , минимизирующее функционал  $J(U(\cdot))$  при наличии неопределённости  $\xi(\cdot)$ :

$$\mathcal{J}(U(\cdot)) = \max_{\xi(\cdot)} J(U(\cdot)).$$

Функция цены равна минимальному значению функционала при фиксированном начальном состоянии:

$$V(t, y_{1,t}, x_2) = \min \mathcal{J}(U(\cdot)).$$

Подобная постановка требует сохранения всей истории измерений  $y_1(t)$ . Последнее достигается следующим образом. Согласно [3], будем различать две задачи: задачу *гарантированного оценивания* текущего состояния, и задачу *синтеза управления в пространстве таких состояний*.

Пусть измерения поступают на промежутке  $[t_0, t_1]$ . Тогда под текущим *информационным состоянием* системы будем понимать тройку  $\{t, \mathcal{X}_1[t], x_2(t)\}$ , где  $\mathcal{X}_1[t]$  — *информационное множество* всех фазовых векторов  $x_1(t)$ , совместимых с моделью системы, доступными измерениями  $y_1(\tau)$ ,  $\tau \in [t_0, t]$ ,  $t \leq t_1$ , и ограничениями  $\mathcal{Q}$  на неизвестные шумы  $\xi(\cdot)$ .

Множество  $\mathcal{X}_1[t]$  — решение задачи гарантированного оценивания [4, 6]. Здесь

$$\mathcal{X}_1[t] = \bigcap_{\tau \in [t_0, t]} H^{-1}(t)(y_1^*(\tau) - \mathcal{Q}(\tau)),$$

при заданных измерениях  $y_1^*(\tau)$ ,  $\tau \in [t_0, t]$ .

Информационное множество может быть описано с помощью своей опорной функции. Для него имеется также и эволюционное уравнение.

Опорная функция<sup>3</sup> множества  $\mathcal{X}_1[t]$  вычисляется с использованием методов выпуклого анализа (см. [7, 4, 3]). Заметим, что из уравнения измерения при  $t = t_0$  следует включение

$$x_1(t_0) \in H^{-1}(t_0)(y_1^*(t_0) - \mathcal{Q}(t_0)) = \mathcal{X}_1^0.$$

Имеем

$$\rho(\ell \mid \mathcal{X}_1[t]) = \inf_{\lambda(\cdot)} \left\{ \int_{t_0}^t (\langle \lambda(\tau), y_1^*(\tau) \rangle + \rho(-\lambda(\tau) \mid \mathcal{Q}(\tau))) d\tau \mid \psi(t) = \ell \right\}, \quad (1.7)$$

где вектор-строка  $\psi$  удовлетворяет дифференциальному уравнению  $\dot{\psi} = \lambda(t)H(t)$  при  $\psi(t_0) = 0$ .

<sup>3</sup>Опорная функция выпуклого множества  $A$  есть  $\rho(\ell \mid A) = \max\{\langle \ell, x \rangle \mid x \in A\}$ .

Если помехи и, следовательно, наблюдения достаточно гладкие, то  $\mathcal{X}_1[t]$  может быть получено как решение эволюционного уравнения<sup>4</sup> [8]:

$$\lim_{\sigma \rightarrow 0+0} \sigma^{-1} h(\mathcal{X}_1[t + \sigma], \mathcal{X}_1[t] \cap H^{-1}(t)(y_1^*(t) - \mathcal{Q}(t))) = 0. \quad (1.8)$$

**Замечание 1.** В случае недостаточной гладкости помех множество  $\mathcal{X}_1[t]$  является максимальным по включению решением эволюционного уравнения

$$\lim_{\sigma \rightarrow 0+0} \sigma^{-1} h_+(\mathcal{X}_1[t + \sigma], \mathcal{X}_1[t] \cap H^{-1}(t)(y_1^*(t) - \mathcal{Q}(t))) = 0.$$

Таким образом, помимо времени  $t$ , информационное состояние включает две составляющие: информационное множество  $\mathcal{X}_1[t]$ , не зависящее от управления, и вектор  $x_2(t)$ , которым необходимо управлять так, чтобы сумма  $x_2(t) + \mathcal{X}_1[t]$  была приведена в минимальную окрестность целевого множества  $\mathcal{M}$ , при том что неуправляемая компонента  $\mathcal{X}_1[t]$  оценивается по ходу процесса.

Имея информационное состояние вида  $\{t, \mathcal{X}_1, x_2\}$  и следуя общей схеме решения задачи управления по результатам измерений далее следовало бы приступить к решению задачи управления в метрическом пространстве выпуклых компактов [9, 3]. Подобная ситуация может оказаться неизбежной, особенно для нелинейных систем. Она порождает весьма сложные бесконечномерные задачи. Однако цель данной работы состоит в том, чтобы указать на существование более простого решения, полученного в рамках методов конечномерных пространств. Для этого переформулируем задачу 1.

**Задача 2.** Пусть задана позиция (информационное состояние)  $\{t, \mathcal{X}_1, x_2\}$ ,  $t \in [t_0, t_1]$ . Найти синтезированное импульсное управление вида  $U(t, \mathcal{X}_1, x_2)$ , минимизирующее функционал

$$\mathcal{J}(U(\cdot)) = \max_{\xi(\cdot)} \left\{ \text{Var } U(\cdot) + \varphi(\mathcal{X}_1[t_1] + x_2(t_1 + 0)) \right\}, \quad \varphi(\mathcal{X}) = \max_{x \in \mathcal{X}} \varphi(x). \quad (1.9)$$

Минимальные значение функционала (1.9), вычисленные для каждого начального состояния  $\{t, \mathcal{X}_1, x_2\}$ , образуют функцию цены  $\mathcal{V}(t, \mathcal{X}_1, x_2)$ .

### 1.3. Решение Задачи 2

Обозначим через  $V(t, x; t_1, \varphi(\cdot))$  функцию цены для задачи синтеза импульсного управления (см. [10, 11]) «из заданной точки», а именно

$$V(t, x) = V(t, x; t_1, \varphi(\cdot)) = \min_{U(\cdot)} \left\{ \text{Var } U(\cdot) + \varphi(x(t_1 + 0)) \mid x(t) = x, dx(\tau) = B(\tau)dU(\tau) \right\}. \quad (1.10)$$

Оценим минимальное значение функционала  $\mathcal{V}(t, \mathcal{X}_1, x_2)$  для задачи 2. С этой целью заметим, что информационное множество  $\mathcal{X}_1[t_1]$  в конечный момент времени  $t_1$  обязательно будет подмножеством начального информационного множества  $\mathcal{X}_1[t]$ . Следовательно, если в (1.9) заменить  $\mathcal{X}_1[t_1]$  на  $\mathcal{X}_1[t]$ , то значение  $\mathcal{J}(U(\cdot))$  только увеличится, поскольку максимум будет браться по большему множеству. Имеем

$$\begin{aligned} \mathcal{V}(t, \mathcal{X}_1, x_2) &= \min_{U(\cdot)} \mathcal{J}(U(\cdot)) \leq \\ &\leq \min_{U(\cdot)} \left\{ \text{Var } U(\cdot) + \varphi \left( \mathcal{X}_1 + x_2 + \int_t^{t_1+0} B(\vartheta)dU(\vartheta) \right) \right\} = V(t, x_2; t_1, \varphi(\cdot)), \end{aligned}$$

<sup>4</sup>Здесь под  $h(A, B)$  понимается хаусдорфово расстояние между двумя компактами:  $h(A, B) = \max\{h_+(A, B), h_-(A, B)\}$ ,  $h_+(A, B) = \min\{\varepsilon \mid A \subseteq B + \varepsilon\mathcal{B}_1\}$ ,  $h_-(A, B) = h_+(B, A)$ .

где

$$\varphi(x) = \max_{z \in \mathcal{X}_1} \varphi(x + z). \quad (1.11)$$

В частности, если  $\varphi(x) = I(x | \mathcal{M})$ , то

$$\varphi(x) = I(x | \mathcal{M} \dot{-} \mathcal{X}_1).$$

Здесь под  $\dot{-}$  понимается геометрическая разность (Минковского) двух выпуклых множеств:

$$A \dot{-} B = \{x | B + x \subseteq A\}.$$

Функция цены  $V(t, x)$  — решение следующего вариационного неравенства типа Гамильтона–Якоби–Беллмана [11]:

$$\min \{H_1(t, x, V_t, V_x), H_2(t, x, V_t, V_x)\} = 0, \quad (1.12)$$

с начальным условием

$$V(t_1, x) = V(t_1, x; t_1, \varphi(\cdot))$$

и гамильтонианами

$$H_1(t, x, V_t, V_x) = V_t, \quad H_2(t, x, V_t, V_x) = \min_{u \in S(0)} \langle V_x, B(t)u \rangle + 1.$$

Здесь  $S(0)$  — единичная сфера в  $\mathbb{R}^n$ .

Согласно (1.12), для любой позиции  $(t, x)$  есть две возможности: либо  $H_1 = 0$ , и можем выбрать управление  $dU(t) = 0$ , либо  $H_1 > 0$ . В последнем случае гарантировано, что  $H_2 = 0$ , и управление имеет скачок в направлении  $-B'(t)V_x$ . Величина скачка выбирается таким образом, чтобы после него опять стало  $H_1 = 0$ .

Приведём теперь строгое определение траекторий синтезированной системы. Поскольку управление входит лишь в уравнение (1.6), можем считать многозначную функцию  $\mathcal{X}_1[t]$  известной (отметим, что это делается уже после того как построен синтез управлений).

Введём дополнительное ограничение на управление:

$$\left\| \frac{dU}{dt} \right\| \leq \mu.$$

Это неравенство следует интерпретировать как ограничение на обобщённую производную функции  $U$ , при этом имеется в виду конечномерная норма, использованная в определении вариации  $\text{Var } U(\cdot)$   $m$ -мерной функции  $U$ . Тогда можно перейти от управления  $U(t)$  к его производной  $u(t)$ , которая уже не будет содержать дельта-функций. Получаем задачу минимизации функционала

$$\mathcal{J}_\mu(u(\cdot)) = \max_{\xi(\cdot)} \left\{ \int_t^{t_1} \|u(\tau)\| d\tau + \varphi(\mathcal{X}_1[t_1] + x_2(t_1 + 0)) \right\}. \quad (1.13)$$

в силу системы  $\dot{x}_2(t) = B(t)u(t)$ ,  $x_2(t) = x_2$ , при ограничении  $\|u(t)\| \leq \mu$ .

Минимальное значение функционала (1.13) обозначим  $\mathcal{V}_\mu(t, \mathcal{X}_1, x_2)$ . Рассуждая аналогичным образом, получаем оценку

$$\mathcal{V}_\mu(t, \mathcal{X}_1, x_2) \leq V_\mu(t, x_2; t_1, \varphi(\cdot)),$$

где  $V_\mu$  — функция цены в задаче управления с двойным ограничением [10]:

$$V_\mu(t, x) = V(t, x; t_1, \varphi(\cdot)) = \min_{\|u(\cdot)\| \leq \mu} \left\{ \int_t^{t_1} \|u(\tau)\| d\tau + \varphi(x(t_1 + 0)) \mid x(t) = x, \dot{x}(\tau) = B(\tau)u(\tau) \right\}.$$

Она является решением уравнения Гамильтона–Якоби–Беллмана

$$\frac{\partial V_\mu}{\partial t} + \min_{\|u\| \leq \mu} \left\{ \left\langle \frac{\partial V_\mu}{\partial x}, B(t)u \right\rangle + \|u\| \right\} = 0 \quad (1.14)$$

с краевым условием  $V_\mu(t_1, x) = \varphi(x)$ . Кроме того,  $V_\mu(t, x) \rightarrow V(t, x)$  при  $\mu \rightarrow \infty$ .

Определим стратегию управления  $\mathcal{U}_\mu(t, \mathcal{X}_1, x_2)$  как множество минимизаторов в (1.14):

$$\mathcal{U}_\mu(t, \mathcal{X}_1, x_2) = \begin{cases} \{0\}, & \|\zeta\| < 1; \\ [0, -\mu\zeta], & \|\zeta\| = 1; \\ \{-\mu\zeta/\|\zeta\|\}, & \|\zeta\| > 1, \end{cases} \quad \zeta = \zeta(t, \mathcal{X}_1, x_2) = B^T(t) \frac{\partial V_\mu}{\partial x}(t, x_2; t_1, \varphi(\cdot)). \quad (1.15)$$

Стратегия (1.15) удовлетворяет, вследствие полунепрерывности сверху функции  $\mathcal{U}_\mu$  как по  $x_2$ , так и по  $\mathcal{X}_1$ , модификации теоремы существования и продолжаемости траекторий дифференциального включения [12]

$$\dot{x}_2(t) \in B(t)\mathcal{U}_\mu(t, \mathcal{X}_1[t], x_2(t)), \quad x_2(t_0) = 0. \quad (1.16)$$

**Определение 1.** *Функция ограниченной вариации  $x_2(t)$  является траекторией синтезированной системы, если найдётся последовательность траекторий дифференциального включения  $x_2(t; \mu_n)$ ,  $\mu_n \rightarrow \infty$ , слабо\* сходящаяся к  $x_2(t)$ .*

#### 1.4. Вычисление функции цены $V(t, x)$

Укажем, каким образом может быть вычислена функция цены  $V(t, x)$  [10]. Эта функция представима в виде

$$V(t, x) = \inf_{x_1 \in \mathbb{R}^n} \{ \varphi(x_1) + W(t, x; t_1, x_1) \}, \quad (1.17)$$

где  $W(t, x; t_1, x_1)$  — минимальная вариация импульсного управления, переводящего систему вида (1.6) из состояния  $(t, x)$  в состояние  $(t_1, x_1)$ . Она может быть найдена по формуле [13]

$$W(t, x; t_1, x_1) = \sup_{p \in \mathbb{R}^n} \frac{\langle p, x_1 - x \rangle}{\|B^T(\cdot)p\|_{C[t, t_1]}}. \quad (1.18)$$

Введём норму в пространстве  $\mathbb{R}^n$  соотношением

$$\|p\|_{[t, t_1]} = \|B^T(\cdot)p\|_{C[t, t_1]} = \max_{\tau \in [t, t_1]} \|B^T(\tau)p\| \quad (1.19)$$

(аксиомы нормы выполняются как следствие полной управляемости исходной системы). Тогда можно записать (1.18) в виде

$$W(t, x; t_1, x_1) = \sup_{p \in \mathcal{B}_{\|\cdot\|_{[t, t_1]}}} \langle p, x_1 - x \rangle, \quad (1.20)$$

где  $\mathcal{B}_{\|\cdot\|_{[t, t_1]}}$  — единичный шар в указанной норме. Имеем из (1.17), (1.20)

$$V(t, x) = \inf_{x_1 \in \mathbb{R}^n} \sup_{p \in \mathcal{B}_{\|\cdot\|_{[t, t_1]}}} \{ \varphi(x_1) + \langle p, x_1 - x \rangle \}.$$

Применяя здесь теорему о минимаксе [14] для перестановки  $\inf$  и  $\sup$ , получаем

$$V(t, x) = \sup_{p \in \mathbb{R}^n} \left[ \langle p, x \rangle - \varphi^*(p) - I \left( p \mid \mathcal{B}_{\|\cdot\|_{[t, t_1]}} \right) \right] = \sup \left[ \langle p, x \rangle - \varphi^*(p) \mid p \in \mathcal{B}_{\|\cdot\|_{[t, t_1]}} \right]. \quad (1.21)$$

Здесь  $\varphi^*$  — сопряжённая по Фенхелю для  $\varphi$  [7]. Несложно проверить, что функция (1.21) удовлетворяет вариационному неравенству (1.12).

**Замечание 2.** Для вычисления (1.21), заменим максимум по  $[t, t_1]$  в (1.19) на максимум по конечному числу моментов времени и условие  $\|B^T(\tau)p\| \leq 1$  (для каждого из этих моментов) на конечное число линейных неравенств типа  $\langle \ell_i, B^T(\tau)p \rangle \leq 1$  (для векторов  $\ell_i, i = \overline{1, N}$ , из единичной сферы). Тогда приходим к конечномерной задаче оптимизации с конечным числом линейных ограничений (см. [11]), для решения которой существуют эффективные алгоритмы [15].

Суммируя сказанное, приходим к следующей теореме.

**Теорема 1.** Верхней оценкой минимального значения функционала  $\mathcal{J}(U(\cdot))$  в задаче 2 является функция цены  $V(t, x)$  обычной задачи импульсного управления (1.10), с терминальным функционалом (1.11). В свою очередь, функция цены  $V(t, x)$  есть решение вариационного неравенства типа ГЯБ (1.12).

Последнее позволяет построить синтез управлений, если вычислена функция цены  $V(t, x)$ . При этом число импульсов в реализации синтезированного управления будет зависеть от поведения помехи.

**Замечание 3.** Описанное решение требует непрерывного пересчёта функции цены для задачи импульсного управления по ходу процесса на основе оценки  $\mathcal{X}_1$  и значения вектора  $x_2$ . Однако можно предложить схему, когда пересчёт осуществляется лишь в некоторые моменты времени  $\tau_i$ , например, когда размер информационного множества  $\mathcal{X}_1[t]$  уменьшается по сравнению с предыдущим таким моментом в определённое количество раз. При этом, вычислив функцию цены в момент времени  $\tau_i$  с терминальным функционалом

$$\varphi(x) = I(x | \mathcal{M} \dot{-} \mathcal{X}_1[\tau_i]),$$

далее на отрезке  $[\tau_i, \tau_{i+1}]$  будем полагать ее неизменной.

**Замечание 4.** Известно [13, 16], что если неопределённость в системе отсутствует, то существует оптимальное управление, которое может быть представлено в виде суммы не более чем  $n$  импульсов.

Однако в рассматриваемой здесь задаче как множество  $\mathcal{X}_1[t]$ , так и функционал  $\varphi(x)$  изменяются по ходу процесса. Следовательно необходимое число импульсных воздействий не может быть указано заранее и может превышать  $n$ .

Но если воспользоваться схемой предыдущего замечания, т.е. пересчитывать информационное множество лишь в моменты времени  $\tau_1, \dots, \tau_m$ , то можно гарантировать существование реализации управления из не более, чем из  $m \cdot n$  импульсов.

Для завершения решения Задачи 2 требуется вычислить терминальную функцию  $\varphi(x)$ . Последняя является индикаторной функцией выпуклого множества  $\mathcal{M} \dot{-} (\mathcal{X}_1[\tau_i] + x_2(\tau_i))$ . Следовательно, ему необходимо дать надлежащее описание.

Задание множества в виде выпуклой оболочки набора точек или значениями его опорной функции на некоторой сетке направлений требует чрезвычайно большого объёма информации в случае высоких размерностей, при том, что соответствующие вычисления несут высокую вычислительную нагрузку. Для преодоления этих трудностей оценим информационное множество внешним множеством простой структуры, а именно эллипсоидом.

### 1.5. Эллипсоидальные аппроксимации

Эллипсоид [17]  $\mathcal{E}(r, R)$  с центром  $r \in \mathbb{R}^n$  и матрицей конфигурации  $R \geq 0$ ,  $R \in \mathbb{R}^{n \times n}$  — выпуклое множество, опорная функция которого имеет вид

$$\rho(p \mid \mathcal{E}(r, R)) = \langle p, r \rangle + \langle p, Rp \rangle^{\frac{1}{2}}.$$

Собственные векторы матрицы  $R$  являются направлениями осей эллипсоида, а соответствующие собственные числа — квадратами длин полуосей. Если матрица  $R$  невырождена, то

$$\mathcal{E}(r, R) = \{x \in \mathbb{R}^n \mid \langle x - r, R^{-1}(x - r) \rangle \leq 1\}.$$

Заметим, что для описания одного эллипсоида в  $n$ -мерном пространстве требуется порядка  $\frac{n^2}{2}$  чисел.

Предположим, что множества  $\mathcal{Q}(t)$  и  $\mathcal{M}$  — эллипсоиды:

$$\mathcal{Q}(t) = \mathcal{E}(q(t), Q(t)), \quad \mathcal{M} = \mathcal{E}(m, M)$$

с известными параметрами  $q(t), m \in \mathbb{R}^n$  и  $Q(t), M \in \mathbb{R}^{n \times n}$ .

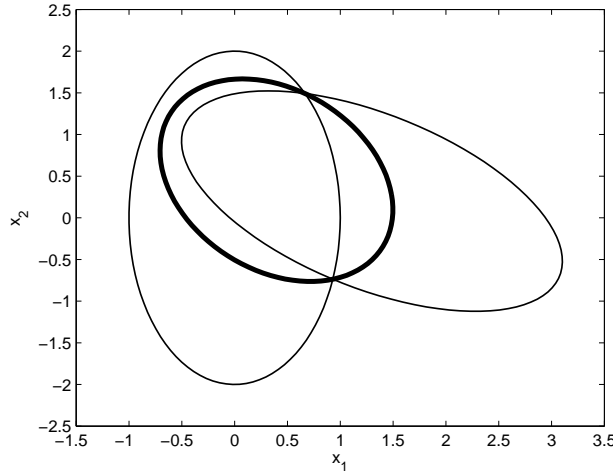


Рис. 1. Эллипсоидальная аппроксимация пересечения двух эллипсоидов

Представим оценку  $\mathcal{X}_1[t]$  через его внешнюю эллипсоидальную аппроксимацию  $\mathcal{Y}_+(t) = \mathcal{E}(\eta(t), Y(t))$ . Для её построения перейдём к дискретному аналогу (1.8) и применим формулу построения внешней аппроксимации пересечения двух эллипсоидов (см. [18, 19]). Пример эллипсоида, найденного по этой формуле, приведён на рис. 1. В результате получаем:

$$\begin{aligned} Y(t + \Delta t) &= \alpha Z^{-1}, \\ \eta(t + \Delta t) &= Z^{-1}(\pi W_1 q_1 + (1 - \pi) W_2 q_2), \end{aligned}$$

где

$$\begin{aligned} Z &= \pi W_1 + (1 - \pi) W_2, \\ W_1 &= Y^{-1}(t), \quad W_2 = H^T(t) Q^{-1}(t) H(t), \\ q_1 &= \eta(t), \quad q_2 = H^{-1}(t)(y(t) - q(t)), \\ \alpha &= 1 - \pi(1 - \pi) \langle q_2 - q_1, W_2 Z^{-1} W_1 (q_2 - q_1) \rangle, \end{aligned}$$



где параметр  $\pi$  находится численно из уравнения

$$\alpha(\det Z)^2 \operatorname{tr}(Z^{-1}(W_1 - W_2)) - \eta(\det Z)^2 (2 \langle \eta(t + \Delta t), W_1 q_1 - W_2 q_2 \rangle + \langle \eta(t + \Delta t), (W_2 - W_1) \eta(t + \Delta t) \rangle - \langle q_1, W_1 q_1 \rangle + \langle q_2, W_2 q_2 \rangle) = 0.$$

Далее находим внутреннюю эллипсоидальную аппроксимацию множества  $\mathcal{M}' = \mathcal{M} \dot{-} \mathcal{Y}_+(t)$ , а именно  $\mathcal{M}'_- = \mathcal{E}(m', M')$  с параметрами

$$m' = m - \eta(t), \quad M' = \left(1 - \left(\frac{\langle \ell, M \ell \rangle}{\langle \ell, Y \ell \rangle}\right)^{\frac{1}{2}}\right) M + \left(1 - \left(\frac{\langle \ell, Y \ell \rangle}{\langle \ell, M \ell \rangle}\right)^{\frac{1}{2}}\right) Y,$$

где  $\ell$  — «хорошее» направление [17].

Наконец, используем эллипсоид  $\mathcal{E}(m', M')$  в качестве целевого множества для функции цены в задаче синтеза импульсного управления. Для этого выберем в качестве терминальной функции опорную функцию множества  $\mathcal{M}'_-$ , а именно положим

$$\varphi^*(p) = \langle p, m' \rangle + \langle p, M' p \rangle^{\frac{1}{2}}.$$

## 2. Синтез управлений при коммуникационных ограничениях

Возвращаясь к системе (1.5), (1.6), при  $t \in [t_0, \vartheta]$ , положим, что измерения поступают в дискретные моменты времени, согласно уравнению

$$y(\tau_i) = H x_1(\tau_i) + \xi(\tau_i), \quad i = \overline{1, k},$$

где  $y(\tau_i), x_1(\tau_i) \in \mathbb{R}^n$ ,  $t_0 \leq \tau_1 < \tau_2 < \dots < \tau_k \leq \vartheta$  и помехи  $\xi(\tau_i)$  для каждого момента времени  $i$  равномерно распределены на множестве

$$\mathcal{Q} = \{\eta \in \mathbb{R}^n : |\eta_\ell| \leq \nu, \ell = \overline{1, n}\}.$$

Кроме того, моменты поступления измерений  $\tau_i$  будем считать случайными, распределёнными по пуассоновскому закону<sup>5</sup> [20] с заданным параметром  $\lambda$ .

**Задача 3.** Найти интервал времени длины  $\vartheta - t_0$  и управляющую стратегию  $U = U(t, \mathcal{X}_1, x_2)$ , удовлетворяющие условию  $\operatorname{Var} U(\cdot) \leq \mu$ , так, чтобы задача синтеза импульсного управления, в заданном классе наблюдений, при условии

$$\min_U \|x_1(\vartheta) + x_2(\vartheta)\| \leq \gamma \quad (2.22)$$

была разрешима с вероятностью  $P^0 \geq 1 - \varepsilon$ , где  $\gamma$  и  $\varepsilon > 0$  заданы заранее.

Чтобы обеспечить выполнение неравенства (2.22), должно выполняться включение

$$x_2(\vartheta) + \mathcal{X}_1[\vartheta] \subseteq \gamma \mathcal{C}(0),$$

где  $\mathcal{C}(0)$  — единичный куб  $\mathbb{R}^n$  с центром 0.

Для этого должен существовать такой вектор  $x_1^*$ , для которого

$$x_2(\vartheta) = -x_1^*, \quad \mathcal{X}_1[\vartheta] \subseteq x_1^* + \mathcal{C}(0)$$

Таким образом, задача 3 при заданных  $\gamma$  и  $\varepsilon$  может быть разбита на две:

<sup>5</sup>Как правило для моделирования передачи коммуникационных сигналов в дискретном времени используется именно пуассоновское распределение.

**Задача 4.** Найти  $\vartheta$ , которое обеспечивает включение  $\mathcal{X}_1[\vartheta] \subseteq \gamma\mathcal{C}(0) + x_1^*$  для некоторого  $x_1^*$  с вероятностью  $P^0 \geq 1 - \varepsilon$ .

**Задача 5.** Обеспечить выполнение условия  $x_2(\vartheta) = -x_1^*$ .

При фиксированных  $x_1^*$  и  $\vartheta$ , вторая задача может быть решена методом, предложенным в работе [11]. Поэтому остановимся подробнее на Задаче 4.

Для неизвестных  $x_1(t) = c = \text{const}$  и  $\mathcal{Q} = -\mathcal{Q}$  будем иметь

$$c \in \bigcap_{i=1}^k H^{-1}(y(t_i) + \mathcal{Q}) = c^* + \mathcal{R}(k, \vartheta), \quad \mathcal{R}(k, \vartheta) = \bigcap_{i=1}^k H^{-1}(\xi^*(t_i) + \mathcal{Q}), \quad \vartheta > t_k,$$

где  $\xi^*(t_i)$  — реализовавшаяся в  $i$ -й момент времени помеха наблюдения  $\xi(t_i)$ ,  $c^*$  — истинное значение параметра  $c$ ,  $\mathcal{R}(k, \vartheta)$  — ошибка после  $k$  измерений.

Дальнейшей целью будет добиться выполнения включения

$$\mathcal{R}(k, \vartheta) \subseteq \gamma\mathcal{C}(0) \tag{2.23}$$

с заданной заранее вероятностью  $P_0 > 1 - \varepsilon$ .

Используя схему статей [21, 22], можно получить решение этой задачи в явном виде. У куба  $\mathcal{Q}$  имеется  $2^n$  вершин. Тогда, если помеха  $\xi(t_i)$ ,  $i = \overline{1, k}$ , пробежит по малым окрестностям  $\mathcal{D}(v_m, \sigma)$  всех вершин<sup>6</sup>  $v_m$ ,  $m = \overline{1, 2^n}$ , то получим

$$\mathcal{R}(k, \vartheta) \subset \mathcal{D}(0, \sigma)$$

и объём  $V_{\mathcal{R}}(k, \vartheta)$  множества  $\mathcal{R}(k, \vartheta)$  устремится к нулю при малых  $\sigma$ , а именно:

$$V_{\mathcal{R}}(k, \vartheta) \leq (2\sigma)^n \rightarrow 0.$$

**Замечание 5.** Отметим, что тот же вывод остаётся справедливым, если помеха  $\xi$  пробежит лишь через окрестности  $n+1$  вершин, образующих симплекс:  $v_1 = (-\nu, -\nu, \dots, -\nu)$ ,  $v_2 = (\nu, -\nu, -\nu, \dots, -\nu)$ ,  $v_3 = (-\nu, \nu, -\nu, \dots, -\nu)$ , и т.д.,  $v_{n+1} = (-\nu, -\nu, \dots, -\nu, \nu)$ .

Для каждой из вершин  $v_j$ ,  $j = \overline{1, n+1}$ , вероятность включения  $\xi(t_i) \in \mathcal{R}(k, \vartheta) \cap \mathcal{D}(v_j, \sigma)$  после  $k$  измерений равна  $P(\sigma, k, v_j) = 1 - (1 - \sigma^n \nu^{-n})^k$ , а вероятность аналогичных включений для всех вершин симплекса равна

$$P(\sigma, k) = (1 - (1 - \sigma^n \nu^{-n})^k)^{n+1}.$$

При фиксированном  $n$  видно, что  $\lim_{k \rightarrow \infty} P(\sigma, k) = 1$  для произвольного  $\sigma > 0$ .

Следовательно, необходимо выбрать число  $\sigma = \sigma^0$  достаточно малым для обеспечения (2.23) и число  $k = k^0$ , гарантирующее

$$P(\sigma^0, k^0) \geq 1 - \delta. \tag{2.24}$$

Тогда очевидно, что  $\mathcal{X}_1[\vartheta] \subseteq x_1^*(\vartheta) + \mathcal{D}(0, \sigma^0)$  для некоторого вектора  $x_1^*(\vartheta)$ , который может быть определён из формулы<sup>7</sup> 1.2)

$$\rho(\ell \mid \mathcal{X}_1[\tau_k]) = \inf \left\{ \sum_{i=1}^k \langle \ell^{(i)}, y^*(\tau_i) \rangle + \rho(-\ell^{(i)} \mid \mathcal{Q}) \mid \ell^{(i)} \in \mathbb{R}^n, i = \overline{1, k}, \sum_{i=1}^k \ell^{(i)} = \ell \right\}.$$

<sup>6</sup>Здесь мы рассматриваем  $n$ -мерные кубы как окрестности  $\mathcal{D}(v_m, \sigma)$  с центром  $v_m$  и рёбрами длины  $2\sigma$ .

<sup>7</sup>Далее в замечании 6 мы укажем как найти  $x_1^*(\vartheta)$  из этих соотношений.

(дискретного аналога формулы (1.7) для  $\rho(\ell | \mathcal{X}_1[\vartheta])$ ).

Однако для того чтобы поступило  $k^0$  измерений, интервал времени должен быть достаточно большим. Из свойств пуассоновского распределения с частотой  $\lambda$  вытекает, что вероятность  $P(k, \vartheta - t_0)$  поступления  $k$  измерений на интервале  $[t_0, \vartheta]$  даётся соотношением [20]

$$P(k, \vartheta - t_0) = 1 - \sum_{j=0}^{k-1} \frac{(\lambda(\vartheta - t_0))^j}{j!} \exp(-\lambda(\vartheta - t_0)).$$

Тогда, что для любого  $k$  будем иметь

$$P(k, \vartheta - t_0) \rightarrow 1, \quad \vartheta \rightarrow \infty. \quad (2.25)$$

Подводя итог рассуждениям, заметим, что интервал наблюдений  $[t_0, \vartheta^0]$ , гарантирующий  $P^0 \geq 1 - \varepsilon$ , определяется из неравенства

$$P^0 = P(k^0, \vartheta - t_0)P(\sigma^0, k^0) \geq P(k^0, \vartheta^0 - t_0)(1 - \delta) \geq 1 - \varepsilon.$$

Это неравенство имеет решение  $\vartheta^0$  при  $\delta < \varepsilon$  (вследствие (2.25)).

Наконец, при  $\delta = \varepsilon/2$  значение  $\vartheta^0$  определяется соотношением

$$P(k^0, \vartheta^0 - t_0) \geq 2(1 - \varepsilon)(2 - \varepsilon)^{-1} > 1 - \varepsilon. \quad (2.26)$$

**Теорема 2.** *Задача 3 разрешима на интервале, не меньшем числа  $\vartheta^0 - t_0$ , определяемого из (2.26), при числе  $k^0$  из (2.24) и достаточно большом значении ограничения  $\mu$  на управление  $U$ , обеспечивающем разрешимость уравнения  $x_2(\vartheta^0) = -x_1^*(\vartheta)$ .*

**Замечание 6.** *Рассмотрим систему неравенств*

$$\langle e^{(i)}, z \rangle \leq \rho(e^{(i)} | \mathcal{X}_1[\tau_k])$$

для всех ортов  $\pm e^{(i)}$ ,  $i = \overline{1, n}$ . Решение

$$\mathcal{Z}(n, k) \supseteq \mathcal{X}_1[\vartheta], \quad \vartheta \geq \tau_k,$$

этой системы представляет собой прямоугольный параллелепипед с центром  $z_1^* = z^*(n, k)$ . Он аппроксимирует  $\mathcal{X}_1[\tau_k]$  внешним образом и может быть использован вместо информационного множества, так что

$$\mathcal{Z}(n, k) - z^* \supseteq \mathcal{R}(k, \vartheta), \quad \vartheta \geq \tau_k$$

и

$$\mathcal{X}_1[\vartheta] \subseteq z^* + (\mathcal{Z}(n, k) - z^*) \subseteq z^* + \mathcal{D}(0, \sigma^0).$$

### 3. Примеры

#### 3.1. Синтез импульсных управлений по результатам измерений

Здесь представлены результаты численного моделирования разработанных ранее законов управления для описанной ниже линейной системы.

Задача состоит в отыскании синтеза импульсных управлений по результатам измерений, останавливающего колебания системы

$$\begin{cases} m_1 \ddot{w}_1 = k_2(w_2 - w_1) - k_1 w_1, \\ m_i \ddot{w}_i = k_{i+1}(w_{i+1} - w_i) - k_i(w_i - w_{i-1}), \\ m_N \ddot{w}_N = -k_N(w_N - w_{N-1}) + u, \end{cases}$$

описывающей многозвенную колебательную механическую систему или эквивалентную ей электрическую цепь.

Целью управления является перевод системы в окрестность состояния равновесия за данное конечное время.

В численных экспериментах использовались следующие значения параметров:  $m_i = 1$ ,  $k_i = 1$ ,  $t_0 = 0$ ,  $t_1 = 2\pi N$ ,  $w_i^0 = \dot{w}_i^0 = 5$ ,  $r(t) = 0$ ,  $R(t) = \text{diag}(10^{-4}I, 10^4I)$  (т.е. смещения  $w$  измеряются со сравнительно малой ошибкой  $\pm 0,01$ , тогда как скорости  $\dot{w}$  измеряются с большой ошибкой  $\pm 100$ ),  $h = 2N$ ,  $\Delta t = 0,1$  для эллипсоидального фильтра,  $p(t) = 0$ ,  $P(t) = 1$ ,  $m = 0$ ,  $M = I$ .

Использовалось наихудшая помеха ( $\xi(t) \equiv 0$ ), приводящая к наибольшему возможному размеру информационного множества.

На рис. 2 показана зависимость диаметра эллипсоидального информационного множества от модельного времени  $t - t_0$ . Отметим что этот график одинаков для любого размера цепи  $N$ .

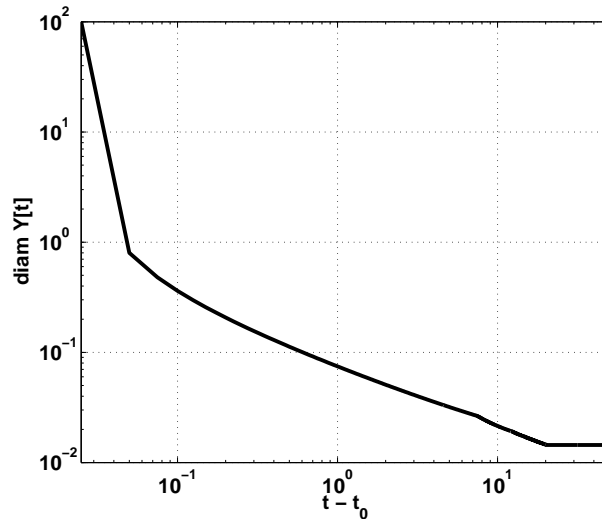


Рис. 2. Диаметр эллипсоидального информационного множества в зависимости от времени ( $t - t_0$ )

Рис. 3 демонстрирует реализовавшееся импульсное управление для  $N = 5$ . Заметив, что размерность системы в данном случае  $n = 2N = 10$ , а число отдельных импульсов (оно равно 13) здесь больше, чем  $n$ .

### 3.2. Управление по результатам измерений при коммуникационных ограничениях

На рис. 4 показано математическое ожидание диаметра информационного множества  $\mathcal{R}(k, \vartheta)$  в задаче с коммуникационными ограничениями для различных размерностей  $n$ .

## 4. Выводы

Статья посвящена синтезу импульсных управлений по результатам измерений при неопределённости, стеснённой геометрическим ограничением. Реализации управлений состоят из суммы  $\delta$ -функций. Рассмотрены два вида помех: непрерывные, не имеющие статистического описания, и дискретные, когда коммуникационные сигналы, содержащие измерения с помехой, поступают в пуассоновские моменты времени. Для обоих случаев указана схема решения и приведены примеры численного моделирования.

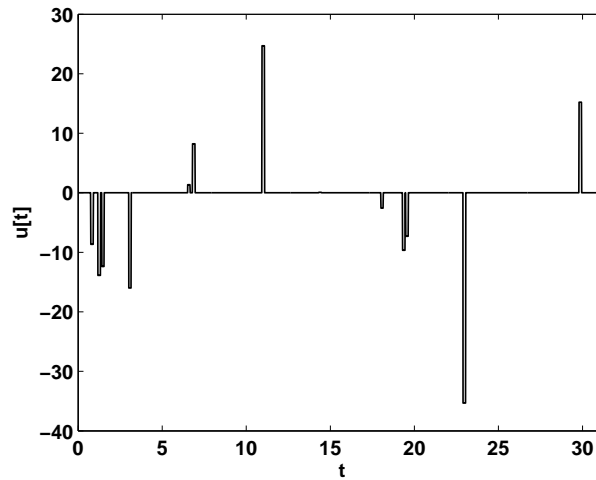


Рис. 3. Аппроксимация реализовавшегося импульсного управления при  $N = 5$

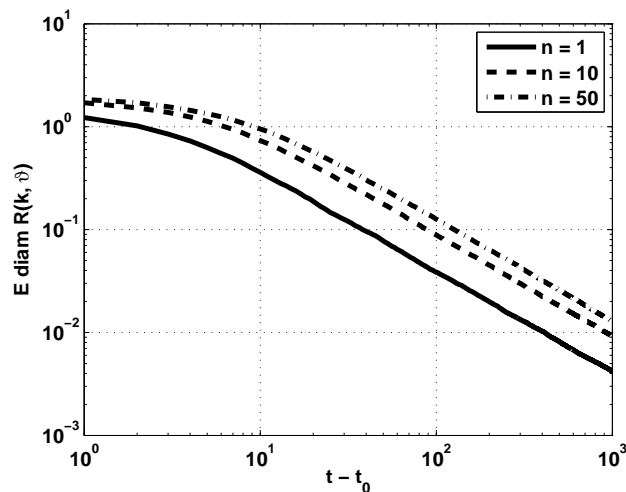


Рис. 4. Диаметр информационного множества для задачи с пуассоновскими моментами измерений, в зависимости от прошедшего времени  $(\vartheta - t_0)$

#### СПИСОК ЛИТЕРАТУРЫ

1. Красовский Н. Н. К теории управляемости и наблюдаемости линейных динамических систем // ПММ. 1964. Т. 28. № 1. С. 3–14.
2. Красовский Н. Н. Теория оптимальных управляемых систем // Механика в СССР за 50 лет. Т. 1. Наука, 1968. С. 179–244.
3. Куржанский А. Б. О синтезе управлений по результатам наблюдений // ПММ. 2004. № 4.
4. Куржанский А. Б. Управление и наблюдение в условиях неопределенности. М.: Наука, 1977.
5. Helton J. W., James M. R. Extending  $H^\infty$  Control to Nonlinear Systems. Philadelphia: SIAM, 1999.
6. Milanese M., Norton J., Piet-Lahanier H., Walter E., Eds. Bounding Approach to System Identification. London: Plenum Press, 1996.
7. Рокафеллар Р. Выпуклый анализ. М.: Мир, 1973.
8. Kurzhanski A. B., Filippova T. F. On the theory of trajectory tubes: a mathematical formalism for uncertain dynamics, viability and control // Advances in Nonlinear Dynamics and Control. Ser. PSC17. Boston: Birkhäuser, 1993. P. 122–188.

9. **James M. R., Baras J. S.** Partially observed differential games, infinite-dimensional Hamilton–Jacobi–Isaacs equations and nonlinear  $H^\infty$  control // *SIAM Journal on Control and Optimization*. 1996. V. 34. N. 4. P. 1342–1364.
10. **Дарьин А. Н., Куржанский А. Б., Селезнёв А. В.** Метод динамического программирования в задаче синтеза импульсных управлений // *Дифференциальные уравнения*. 2005. Т. 41. № 11. С. 1491–1500.
11. **Kurzhanski A. B., Daryin A. N.** Dynamic programming for impulse controls // *Annual Reviews in Control*. 2008. V. 32. P. 213–227.
12. **Филиппов А. Ф.** Дифференциальные уравнения с разрывной правой частью. М.: Наука, 1985.
13. **Красовский Н. Н.** Об одной задаче оптимального регулирования // *ПММ*. 1957. Т. 21. № 5. С. 670–677.
14. **Fan Ky.** Minimax theorems // *Proc. Nat. Acad. of Sci. USA*. 1953. V. 39. N. 1. P. 42–47.
15. **Boyd S., Ghaoui L. E., Feron E., Balakrishnan V.** *Linear Matrix Inequalities in System and Control Theory*. Ser. Studies in Applied Mathematics 15. SIAM, 1994.
16. **Neustadt L. W.** Optimization, a moment problem and nonlinear programming // *SIAM Journal on Control*. 1964. V. 2. N. 1. P. 33–53.
17. **Kurzhanski A. B., Vályi I.** *Ellipsoidal Calculus for Estimation and Control*. SCFA. Boston: Birkhäuser, 1997.
18. **Kurzhanskiy A. A., Varaiya P.** Ellipsoidal toolbox. <http://code.google.com/p/ellipsoids/>, 2005.
19. **Ros L., Sabater A., Thomas F.** An ellipsoidal calculus based on propagation and fusion // *IEEE Transactions on Systems, Man and Cybernetics*. 2002. V. 32. N. 4.
20. **Феллер В.** Введение в теорию вероятностей и ее приложения. М.: Мир, 2-е изд., 1967.
21. **Kurzhanski A. B.** Identification: a theory of guaranteed estimates // *From Data to Model* / Ed. Willems J. C. Springer, 1989. P. 135–214.
22. **Ustyuzhanin A. M.** On the problem of matrix parameter identification // *Problems of Control and Information Theory*. 1986. V. 15. N. 4. P. 265–273.